

## 8 Caractérisation inertielle des solides

03 DYN

### 8.1 Masse et centre de masse (centre d'inertie)

#### 8.1.1 Définitions

##### Définition – Masse d'un solide indéformable

On peut définir la masse totale d'un solide  $S$  par :  $M = \int_{P \in S} dm$ . Si de plus l'ensemble est fait d'un matériau homogène de masse volumique  $\mu$ , on a  $M = \mu \int_{P \in S} dV$ .

##### Définition – Centre d'inertie d'un solide

La position du centre d'inertie  $G$  d'un solide  $S$  est définie par  $\int_{P \in S} \overrightarrow{GP} dm = \vec{0}$ .

Pour déterminer la position du centre d'inertie d'un solide  $S$ , on passe généralement par l'origine du repère associé à  $S$ . On a alors  $\int_{P \in S} \overrightarrow{GP} dm = \int_{P \in S} (\overrightarrow{GO} + \overrightarrow{OP}) dm = \vec{0} \Leftrightarrow \int_{P \in S} \overrightarrow{OP} dm = - \int_{P \in S} \overrightarrow{GO} dm = -M \overrightarrow{OG} \Leftrightarrow M \overrightarrow{OG} = \int_{P \in S} \overrightarrow{OP} dm$ .

##### Méthode – Coordonnées du centre d'inertie

Pour déterminer les coordonnées  $(x_G, y_G, z_G)$  du centre d'inertie  $G$  du solide  $S$  dans la base  $(O; \vec{x}, \vec{y}, \vec{z})$ , on a donc :

$$\begin{cases} Mx_G = \mu \int_{P \in S} x_P dV \\ My_G = \mu \int_{P \in S} y_P dV \\ Mz_G = \mu \int_{P \in S} z_P dV \end{cases} \quad \text{avec } dV \text{ volume élémentaire du solide } S.$$

Pour simplifier les calculs, on peut noter que le centre d'inertie appartient au(x) éventuel(s) plan(s) de symétrie du solide.

8.1	Masse et centre de masse (centre d'inertie) . . . . .	1
8.2	Matrice d'inertie d'un solide . . . . .	2

**Emilien Durif**, *Introduction à la dynamique des solides*, Lycée La Martinière Monplaisir, Lyon.

**Florestan Mathurin**, *Géométrie des masses*, Lycée Bellevue, Toulouse <http://florestan.mathurin.free.fr/>.

**Robert Papanicola**, *Opérateurs d'inertie*, Lycée Charlemagne, Paris, <http://sciences-indus-cpge.papanicola.info/>.



FIGURE 8.1 – Toupie

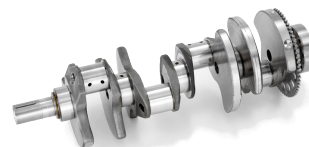


FIGURE 8.2 – Volants d'inertie d'un vilebrequin

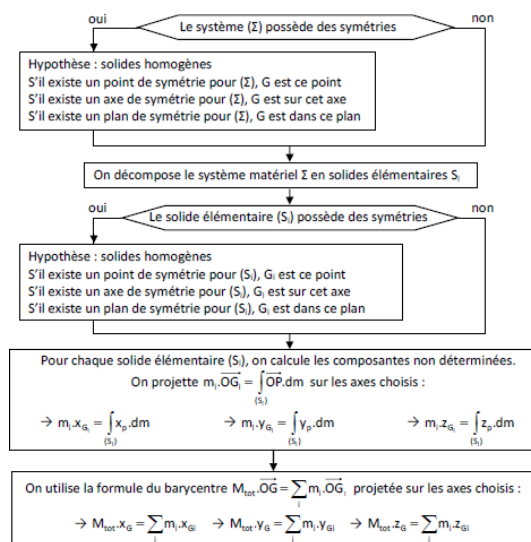
**Remarque**

Centre d'inertie et centre de gravité sont confondus lorsque le champ de pesanteur est considéré comme uniforme en tout point de l'espace.

**8.1.2 Centre d'inertie d'un ensemble de solides encastrés entre eux****Méthode – Barycentre d'un assemblage**

Soit un solide composé de  $n$  solides élémentaires dont la position des centres d'inertie  $G_i$  et les masses  $M_i$  sont connues. On note  $M = \sum_{i=1}^n M_i$ . La position du centre d'inertie  $G$  de l'ensemble  $S$  est donné par :

$$\overrightarrow{OG} = \frac{1}{M} \sum_{i=1}^n M_i \overrightarrow{OG_i}.$$

**8.1.3 Méthode pour déterminer le centre d'inertie d'un solide [2]****8.2 Matrice d'inertie d'un solide****8.2.1 Opérateur et matrice d'inertie****Définition – Opérateur d'inertie**

Soient :

- ▶ un solide  $S$  de masse  $m$  en mouvement par rapport à un repère  $\mathcal{R}_0 = (O_0; \vec{i}_0, \vec{j}_0, \vec{k}_0)$ ;
- ▶  $\mathcal{R}_S = (O; \vec{i}, \vec{j}, \vec{k})$  le repère lié au solide  $S$ ;
- ▶  $P$  un point de  $S$  tel que  $\overrightarrow{OP} = x_p \vec{i} + y_p \vec{j} + z_p \vec{k}$ ;
- ▶  $\vec{u}$  un vecteur unitaire lié au solide  $S$  tel que  $\vec{u} = u_x \vec{i} + u_y \vec{j} + u_z \vec{k}$ .

On appelle opérateur d'inertie l'application linéaire définie par :

$$\vec{u} \rightarrow \overrightarrow{J_{(O,S)}(\vec{u})} = \int_S \overrightarrow{OP} \wedge (\vec{u} \wedge \overrightarrow{OP}) \, dm$$

On appelle matrice d'inertie du solide  $S$  en  $O$ ,  $I_O(S)$ , l'image de cette application linéaire :  $\overrightarrow{J_{(O,S)}(\vec{u})} = I_O(S) \vec{u}$ .

### Définition – Matrice d'inertie

La matrice d'inertie s'écrit ainsi :

$$I_O(S) = \begin{pmatrix} \int_S (y_p^2 + z_p^2) \, dm & -\int_S (x_p y_p) \, dm & -\int_S (x_p z_p) \, dm \\ -\int_S (x_p y_p) \, dm & \int_S (x_p^2 + z_p^2) \, dm & -\int_S (y_p z_p) \, dm \\ -\int_S (x_p z_p) \, dm & -\int_S (y_p z_p) \, dm & \int_S (x_p^2 + y_p^2) \, dm \end{pmatrix}_{\mathcal{R}_S}$$

$$= \begin{pmatrix} A & -F & -E \\ -F & B & -D \\ -E & -D & C \end{pmatrix}_{\mathcal{R}_S}.$$

On appelle moments d'inertie par rapport aux axes  $(O, \vec{x})$ ,  $(O, \vec{y})$  et  $(O, \vec{z})$  les termes  $A$ ,  $B$  et  $C$ .

On appelle produit d'inerties par rapport aux axes  $(O, \vec{y})$  et  $(O, \vec{z})$ ,  $(O, \vec{z})$  et  $(O, \vec{x})$  et  $(O, \vec{x})$  et  $(O, \vec{y})$  les termes  $D$ ,  $E$  et  $F$ .

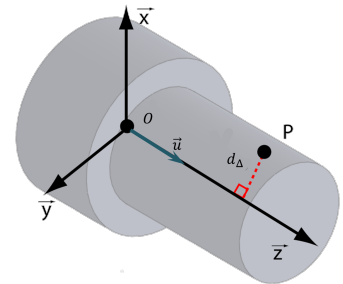
### Propriété –

- La matrice d'inertie est une matrice symétrique. Il existe une base dans laquelle elle est diagonalisable. Cette base est appelée base principale d'inertie.
- Si  $(O, \vec{x}, \vec{y})$  est un plan de symétrie du solide,  $D$  et  $E$  sont nuls.
- Si  $(O, \vec{z}, \vec{x})$  est un plan de symétrie du solide,  $D$  et  $F$  sont nuls.
- Si  $(O, \vec{y}, \vec{z})$  est un plan de symétrie du solide,  $E$  et  $F$  sont nuls.
- Si un solide admet 2 plans de symétrie, alors  $D$ ,  $E$  et  $F$  sont nuls.

### Définition – Moment d'inertie par rapport à un axe quelconque

Le moment d'inertie caractérise la répartition de masse d'un solide autour d'un axe  $\Delta(O, \vec{u})$ . Plus la valeur de l'inertie est grande plus il sera difficile de mettre en mouvement de rotation ce solide autour de l'axe  $\Delta$ . On note  $I_\Delta(S)$ , le moment d'inertie du solide  $S$  autour de l'axe  $\Delta$ . Son unité est en  $\text{kg.m}^2$ .

Si on connaît  $I_O(S)$ , alors  $I_\Delta(S) = \vec{u}^\top I_O(S) \vec{u}$  avec  $\vec{u}$  vecteur unitaire.



**Remarque**

On a aussi :

$$I_{\Delta}(S) = \int_S d_{\Delta}^2 dm \quad \text{où } d_{\Delta} \text{ est la distance entre le point courant } P \text{ et l'axe } \Delta.$$

**8.2.2 Déplacement d'une matrice d'inertie – Théorème de Huygens****Théorème – Théorème de Huygens**

Soit  $S$  un solide de centre d'inertie  $G$ , de masse  $m$ , d'inertie  $I_G(S)$  et d'inertie  $I_O(S)$  avec  $\overrightarrow{OG} = a\vec{x} + b\vec{y} + c\vec{z}$ . Les matrices  $I_G(S)$  et  $I_O(S)$  exprimées dans la base  $\mathcal{B} = (\vec{x}, \vec{y}, \vec{z})$  sont liées par :

$$\begin{pmatrix} A_O & -F_O & -E_O \\ -F_O & B_O & -D_O \\ -E_O & -D_O & C_O \end{pmatrix}_{\mathcal{B}} = \begin{pmatrix} A_G & -F_G & -E_G \\ -F_G & B_G & -D_G \\ -E_G & -D_G & C_G \end{pmatrix}_{\mathcal{B}} + \begin{pmatrix} m(b^2 + c^2) & -mab & -mac \\ -mab & m(a^2 + c^2) & -mbc \\ -mac & -mbc & m(a^2 + b^2) \end{pmatrix}_{\mathcal{B}}.$$

Si le solide est modélisé par une masse ponctuelle  $m$  en  $G$  et si on souhaite connaître le moment d'inertie pour un point situé à une distance  $d$  de  $G$ , on a  $I = md^2$ .

**8.2.3 Changement de base de la matrice d'inertie****Définition – Matrice de Passage**

On appelle  $P_{12}$  la matrice de passage permettant de passer de la base  $\mathcal{B}_1$  à la base  $\mathcal{B}_2$ . Cette matrice est constituée en colonnes des coordonnées des vecteurs de la base  $\mathcal{B}_2$  écrits dans la base d'origine  $\mathcal{B}_1$ . On l'appelle aussi matrice de changement de base. Cette matrice est inversible.

Dans le cas des matrices de rotation,  $P_{12}^{-1} = P_{12}^T$ .

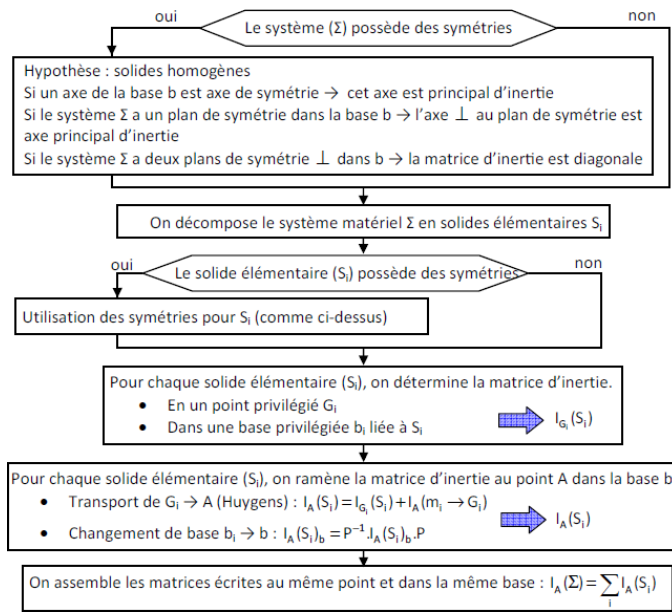
**Exemple –**

Soit  $\mathcal{R}_1(O; \vec{x}_1, \vec{y}_1, \vec{z})$  et  $\mathcal{R}_2(O; \vec{x}_2, \vec{y}_2, \vec{z})$  avec  $\beta = (\vec{x}_1, \vec{x}_2)$ . On a alors  $\vec{x}_2 = \cos\beta \vec{x}_1 + \sin\beta \vec{y}_1$  et  $\vec{y}_2 = \cos\beta \vec{y}_1 - \sin\beta \vec{x}_1$ . En conséquences,  $P_{12} = \begin{pmatrix} \cos\beta & -\sin\beta & 0 \\ \sin\beta & \cos\beta & 0 \\ 0 & 0 & 1 \end{pmatrix}$ .

**Résultat –**

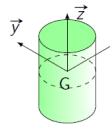
Pour passer  $I_A(S)_{\mathcal{B}_1}$  de  $\mathcal{B}_1$  et  $\mathcal{B}_2$  de la on a  $I_A(S)_{\mathcal{B}_2} = P_{12}^{-1} I_A(S)_{\mathcal{B}_1} P_{12}$ .

## 8.2.4 Détermination de la matrice d'inertie d'un solide [2]



## 8.2.5 Matrice d'inertie de solides usuels [3]

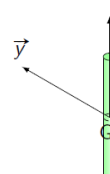
Cylindre d'axe (G,  $\vec{z}$ ) de rayon  $R$  et de hauteur  $H$ 



$$\begin{pmatrix} m \cdot \left( \frac{R^2}{4} + \frac{H^2}{12} \right) & 0 & 0 \\ 0 & m \cdot \left( \frac{R^2}{4} + \frac{H^2}{12} \right) & 0 \\ 0 & 0 & m \cdot \frac{R^2}{2} \end{pmatrix}_{\vec{e}_{(\vec{r}, \vec{r}, \vec{z})}}$$

en G dans toute base contenant  $\vec{z}$

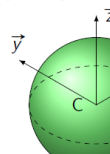
Tige cylindrique (G,  $\vec{z}$ ) de rayon négligeable



$$\begin{pmatrix} m \cdot \frac{H^2}{12} & 0 & 0 \\ 0 & m \cdot \frac{H^2}{12} & 0 \\ 0 & 0 & 0 \end{pmatrix}_{\vec{e}_{(\vec{r}, \vec{r}, \vec{z})}}$$

en G dans toute base contenant  $\vec{z}$ .

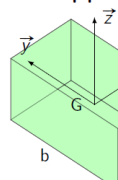
Sphère pleine de centre C



$$\begin{pmatrix} \frac{2}{5} m \cdot R^2 & 0 & 0 \\ 0 & \frac{2}{5} m \cdot R^2 & 0 \\ 0 & 0 & \frac{2}{5} m \cdot R^2 \end{pmatrix}_{\vec{e}_B}$$

En C centre de la sphère et dans toute base

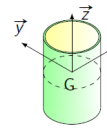
Parallélépipède de cotés  $a$ ,  $b$  et  $c$ 



$$\begin{pmatrix} m \cdot \frac{b^2 + c^2}{12} & 0 & 0 \\ 0 & m \cdot \frac{a^2 + c^2}{12} & 0 \\ 0 & 0 & m \cdot \frac{a^2 + b^2}{12} \end{pmatrix}_{\vec{e}_B}$$

en G dans la base  $B$  parallèle aux arêtes du parallélépipède

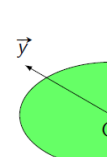
Tube d'axe (G,  $\vec{z}$ ) de rayon  $R$  et de hauteur  $H$  (épaisseur négligeable)



$$\begin{pmatrix} m \cdot \left( \frac{R^2}{2} + \frac{H^2}{12} \right) & 0 & 0 \\ 0 & m \cdot \left( \frac{R^2}{2} + \frac{H^2}{12} \right) & 0 \\ 0 & 0 & m \cdot R^2 \end{pmatrix}_{\vec{e}_{(\vec{r}, \vec{r}, \vec{z})}}$$

en G dans toute base contenant  $\vec{z}$ .

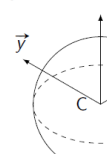
Disque d'axe (G,  $\vec{z}$ ) d'épaisseur négligeable



$$\begin{pmatrix} m \cdot \frac{R^2}{4} & 0 & 0 \\ 0 & m \cdot \frac{R^2}{4} & 0 \\ 0 & 0 & m \cdot \frac{R^2}{2} \end{pmatrix}_{\vec{e}_{(\vec{r}, \vec{r}, \vec{z})}}$$

en G dans toute base contenant  $\vec{z}$ .

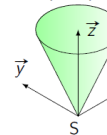
Sphère creuse de centre C



$$\begin{pmatrix} \frac{2}{3} m \cdot R^2 & 0 & 0 \\ 0 & \frac{2}{3} m \cdot R^2 & 0 \\ 0 & 0 & \frac{2}{3} m \cdot R^2 \end{pmatrix}_{\vec{e}_B}$$

En C centre de la sphère et dans toute base

Cône (S,  $\vec{z}$ ) de rayon  $R$  et de hauteur  $H$ 



$$\begin{pmatrix} \frac{3 \cdot m}{5} \cdot \left( \frac{R^2}{4} + H^2 \right) & 0 & 0 \\ 0 & \frac{3 \cdot m}{5} \cdot \left( \frac{R^2}{4} + H^2 \right) & 0 \\ 0 & 0 & \frac{3 \cdot m R^2}{5 \cdot 2} \end{pmatrix}_{\vec{e}_{(\vec{r}, \vec{r}, \vec{z})}}$$

au sommet S dans toute base contenant  $\vec{z}$ .